



# Prothèses diaphragmatiques pédiatriques

# État de l'art

**Synthetic versus Biological Patches for CDH: A Comparison of Recurrence Rates and Adverse Events, Systematic Review, and Meta-Analysis**

Kamal, Tasnim Rowshan ; **EUROPEAN JOURNAL OF PEDIATRIC SURGERY**

AUG 2022

- A total of 47 studies with **986 patients** (226 biological, 760 synthetic) : synthetic patch seem to be preferred but biological ones are more recent
- The most commonly used patch types-PTFE (polytetrafluoroethylene) and SIS (small intestinal submucosa)
- **Biological patches appear to have higher recurrence** rates than synthetic patches,
- **while skeletal deformities** are associated more commonly with **synthetic** patches

# État de l'art

Porcine dermal patches as a risk factor for recurrence after congenital diaphragmatic hernia repair  
Irene de Haro Jorge, *Pediatric Surgery International* volume 37, pages59–65 (2021)

50 patients entered the study

25 Gore-Tex® and 8 porcine dermis patches were used. Seven patients presented recurrence (14%). Median follow-up time was 3.5 years (1.2–6.2). Univariate analysis revealed that the use of a porcine dermis patch (75%) increased the risk of recurrence.

# État de l'art

Recurrence of Congenital Diaphragmatic Hernia : Risk factors, Management and future perspectives. *In Frontiers in pediatrcs. 2022. Francesco Macchini and al.*

Surgical-related PFs seem to have a major role in **recurrence** among postnatal variables, especially the use of **patches**.

Patients who require a diaphragmatic patch repair are reported to have a **risk 2.83 times higher** of developing a recurrence

**The inability of the synthetic patch to grow** with the patient is the mechanism underlying this strong association

Based on current evidence, major international study groups recommend using non-absorbable prosthetic patches, mainly PTFE, aiming at an oversized/dome shape

# État de l'art

Recurrence of Congenital Diaphragmatic Hernia : Risk factors, Management and future perspectives. *In Frontiers in pediatrcs. 2022. Francesco Macchini and al.*

Surgical-related PFs seem to have a major role in **recurrence** among postnatal variables, especially the use of **patches**.  
Patients who require a diaphragmatic patch repair are reported to have a **risk 2.83 times higher** of developing a recurrence  
**The inability of the synthetic patch to grow** with the patient is the mechanism underlying this strong association  
Based on current evidence, major international study groups recommend using non-absorbable prosthetic patches, mainly PTFE, aiming at an oversized/dome shape

*Waiting for better*



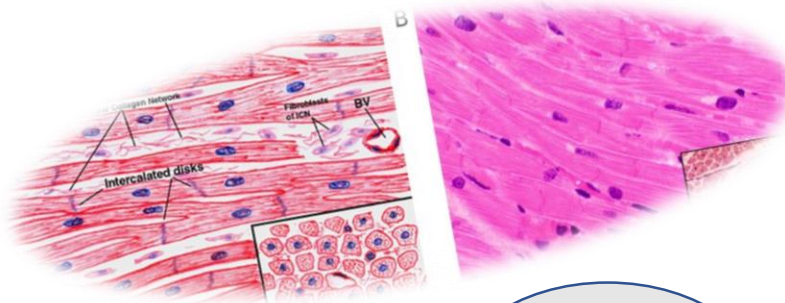
**Cher utilisateur du biomatériau GORE® DUALMESH® et/ou du patch de renforcement des tissus mous GORE-TEX® :**

Nous souhaitons, par la présente, vous informer que W. L. Gore & Associates, Inc. (Gore) ne poursuivra pas sa demande d'obtention des futures certifications réglementaires de l'Union européenne (marquage CE de l'UE) dans le contexte du nouveau Règlement relatif aux dispositifs médicaux (RDM) concernant le biomatériau GORE® DUALMESH® et le patch de renforcement des tissus mous GORE-TEX®. Nous avons pris cette difficile décision dans un objectif stratégique commercial

# Nos projets

Problématique croissante de la hernie à large défaut

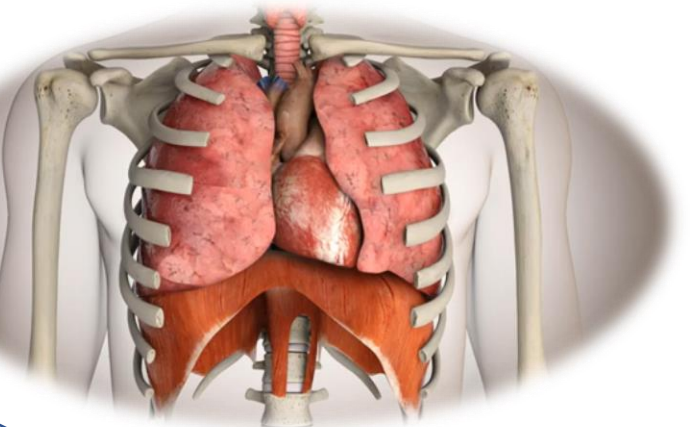
Analyses d'explants, littérature



Propriétés  
biologiques



Propriétés  
mécaniques



# DIAPID and Biomekid projects

“Functional prosthesis for the repair of congenital diaphragmatic hernia”

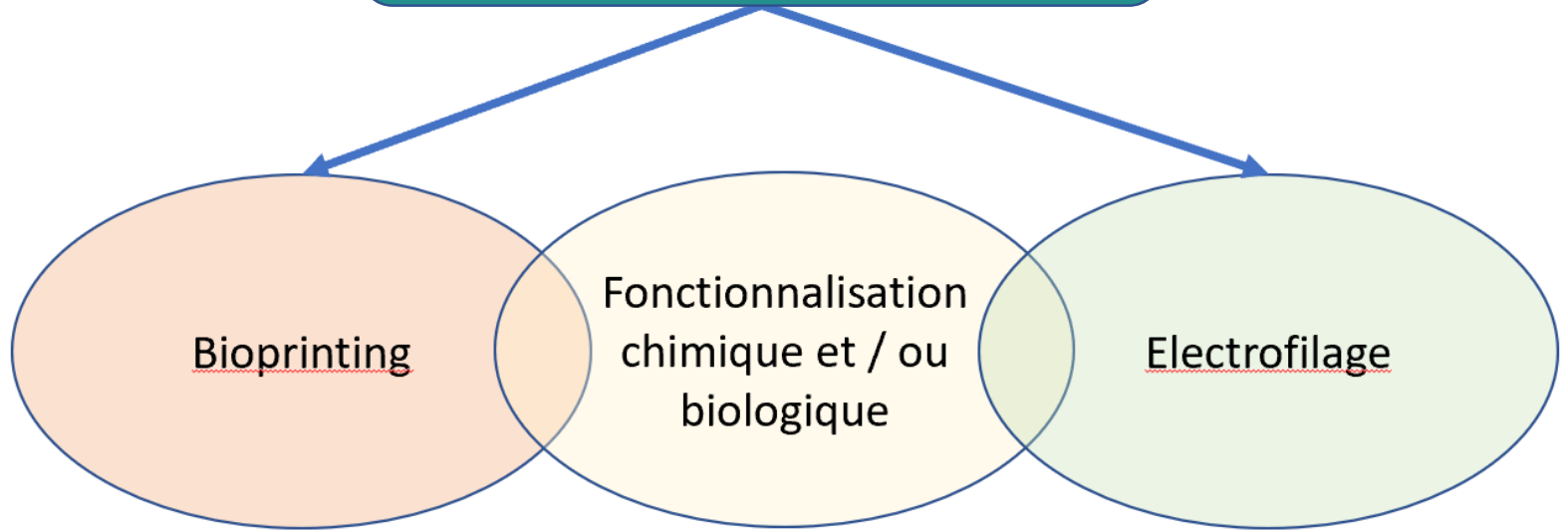


## Quelle serait la prothèse idéale ?

- Résorbable ? ... Études encore insuffisantes
- Etirable ? ... Oui, pour suivre la croissance et la ventilation
- Mais plastique également (rigide) !
- Double face ? ... Oui, intérêt d'une réponse cellulaire différente
- Hydrophile ? ... Oui, attractive pour les cellules !
- Fonctionnalisée ? ... Oui, guide la colonisation cellulaire

Problématique croissante de la hernie  
à large défaut

Analyses d'explants, littérature



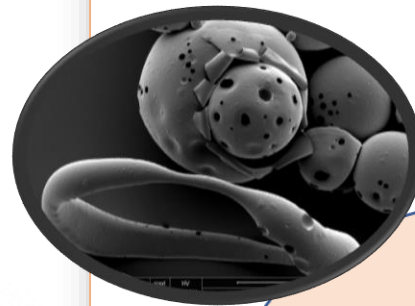
- Analyses biologiques in vitro, in vivo

- Analyse mécanique

- Cytotoxicité
- Inflammation
- Colonisation

- Uniaxiale
- Multiaxiale
- Gonflement

## Biomekid

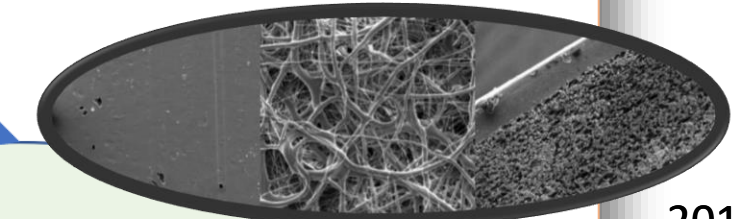


2022

Problématique croissante de la hernie  
à large défaut

Analyses d'explants, littérature

## Diapid



2018

Fonctionnalisation  
chimique et / ou  
biologique

Bioprinting

Electrofilage

- Analyses biologiques in vitro, in vivo

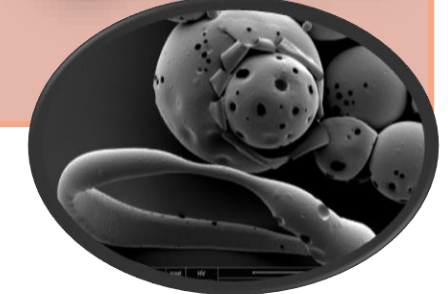
- Analyse mécanique

- Cytotoxicité
- Inflammation
- Colonisation

- Uniaxiale
- Multiaxiale
- Gonflement

2019

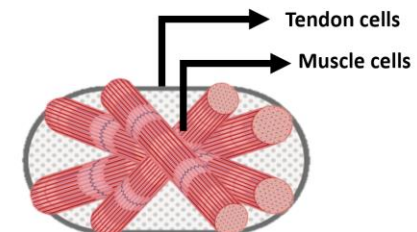
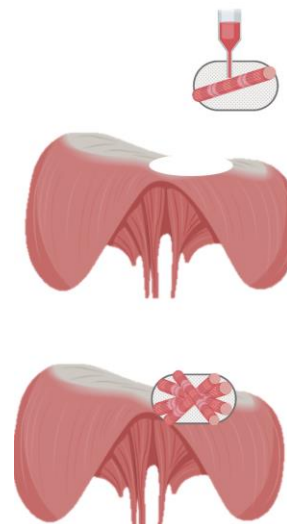
2022



## Répondre aux faiblesses des prothèses résorbables :

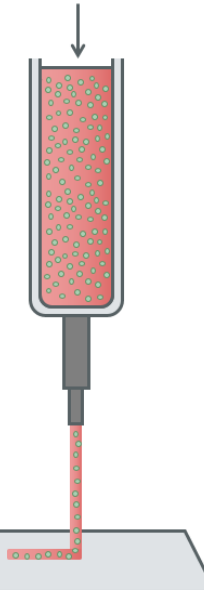
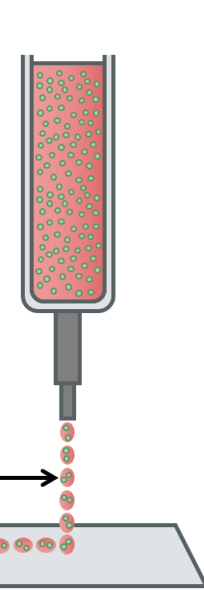
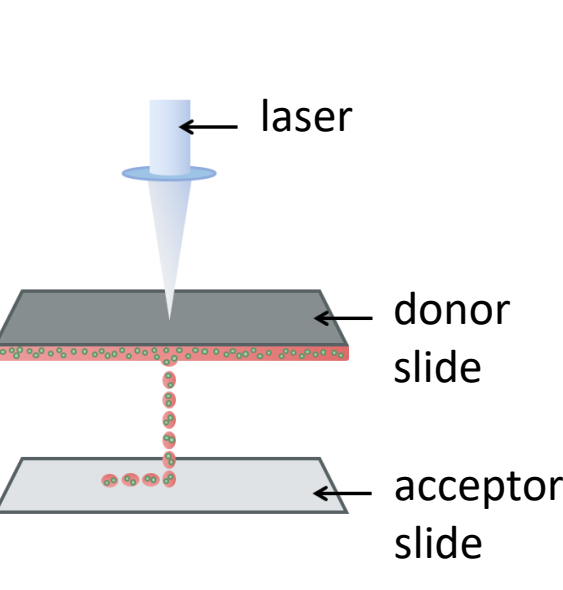
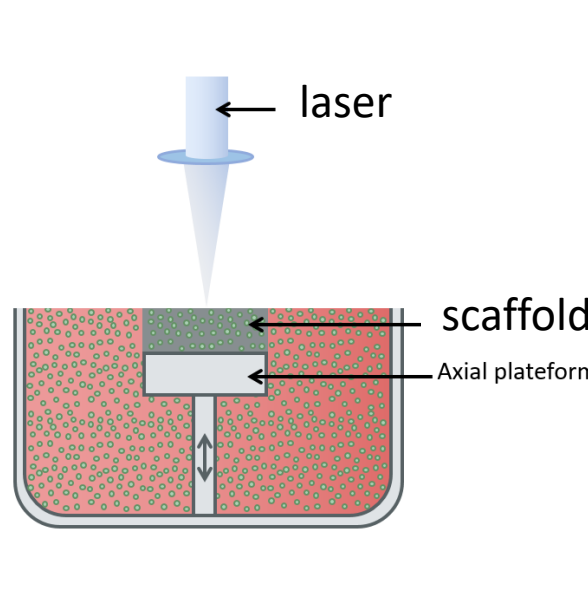
- Récidives
- Tissu conjonctif non fonctionnel
- Adhérences (processus inflammatoire de résorption)

- Favoriser la régénération diaphragmatique
- Et donc une fonction diaphragmatique

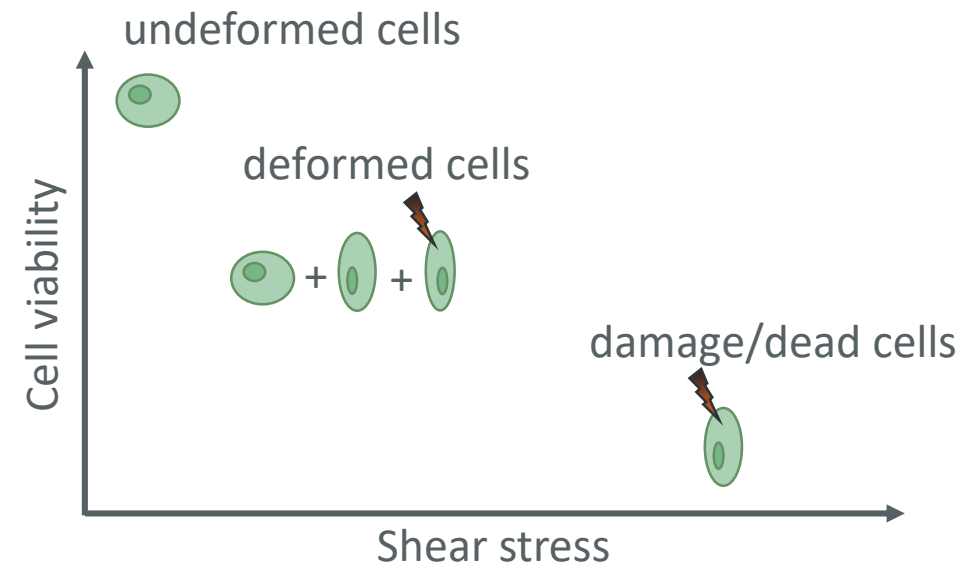
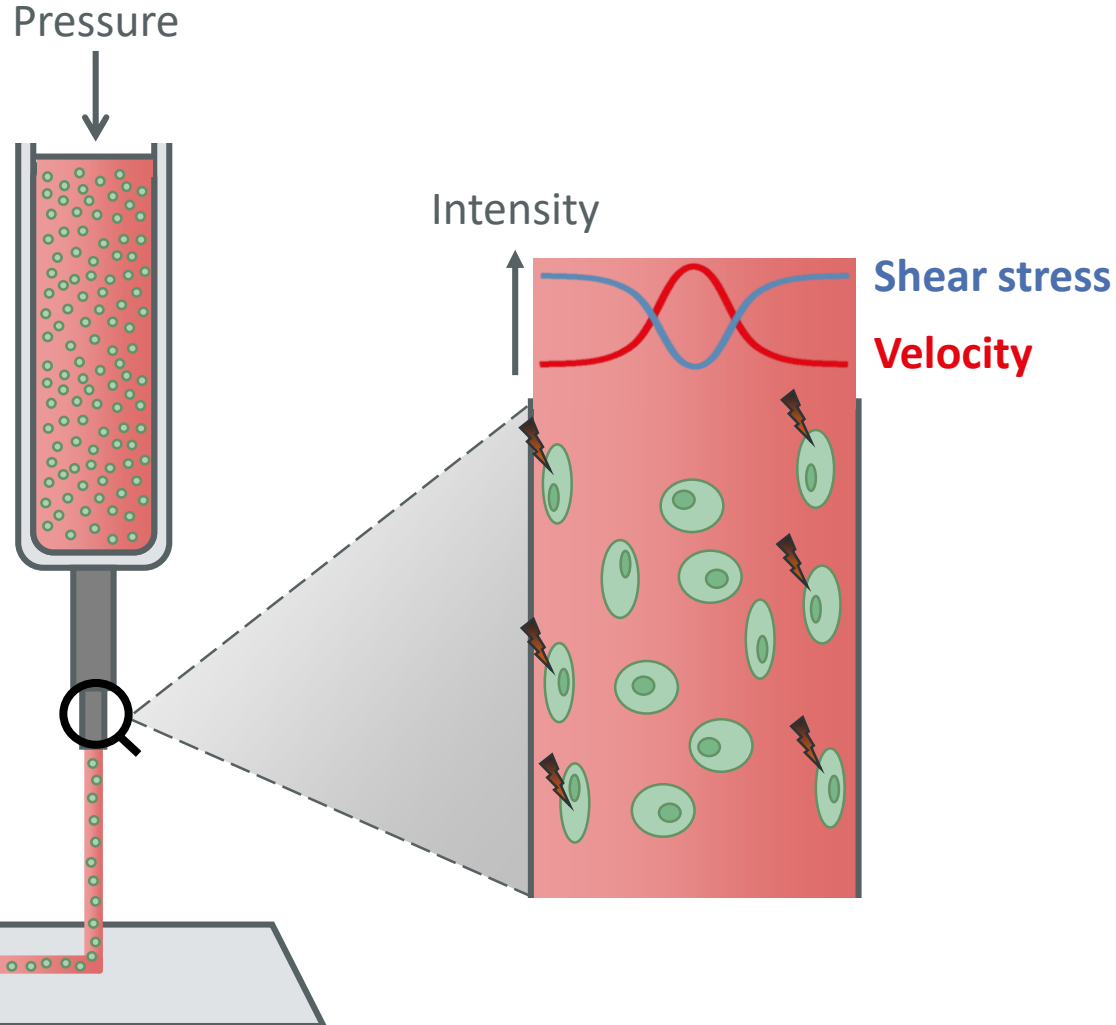


*...Bioimpression cellulaire*

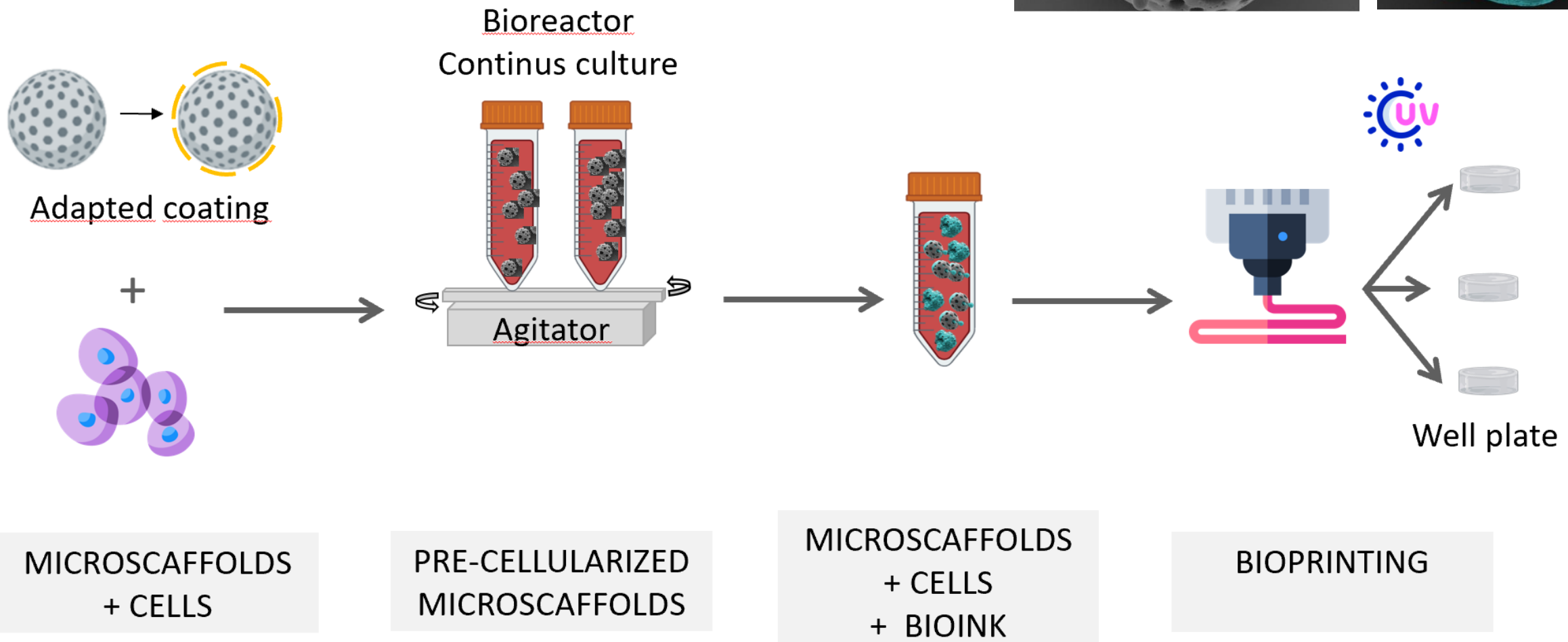
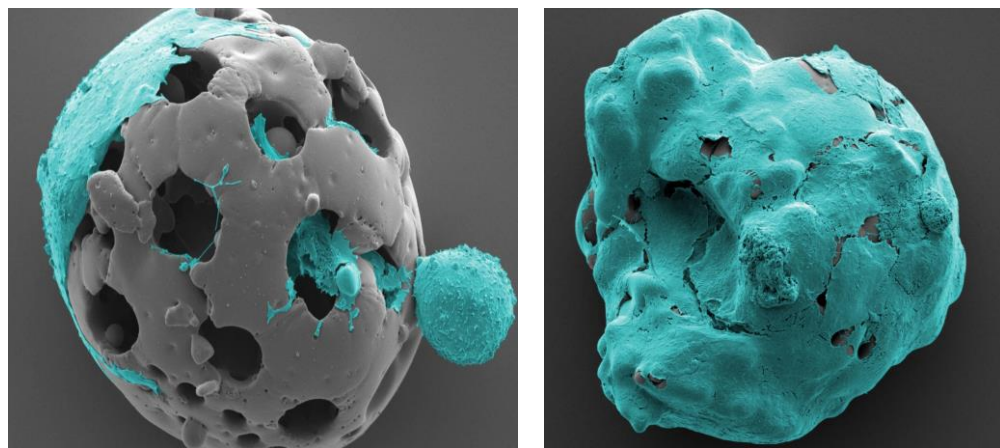
## Les différents modes de bioimpression

EXTRUSION	INKJET	LASER	STEREOLITHOGRAPHY
 <ul style="list-style-type: none"> <li>cell</li> <li>bioink</li> </ul>	 <p>bioink droplets →</p>	 <p>laser</p> <p>donor slide</p> <p>acceptor slide</p>	 <p>laser</p> <p>scaffold</p> <p>Axial platform</p>
<b>Advantages and limitations</b>			
<ul style="list-style-type: none"> <li>High cell density</li> <li>Cost effective</li> <li>High versatility</li> <li>Shear-stress inducing low cell viability</li> <li>Low resolution</li> </ul>	<ul style="list-style-type: none"> <li>Fast printing speed</li> <li>High cell viability</li> <li>High resolution</li> <li>Low cell density</li> <li>High-viscosity bioinks</li> <li>Clogging of nozzle</li> </ul>	<ul style="list-style-type: none"> <li>High cell viability</li> <li>High-variability</li> <li>High resolution</li> <li>Low fabrication speed</li> <li>Low cell density</li> <li>High cost</li> </ul>	<ul style="list-style-type: none"> <li>High cell viability</li> <li>High resolution</li> <li>UV polymerization</li> <li>Amount of material</li> <li>Low cell density</li> <li>Lack of multi-material</li> </ul>

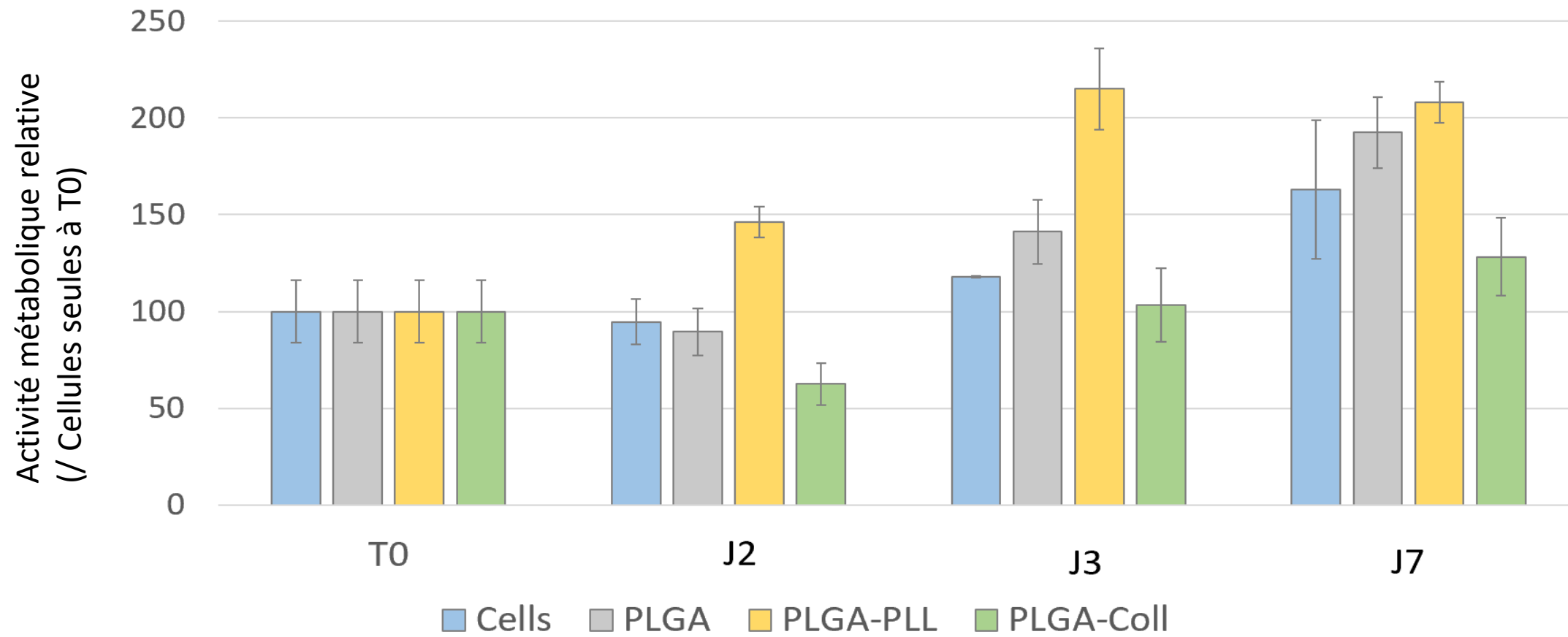
## Les inconvénients de la bioimpression par extrusion



## Mise au point de microparticules « protégeant les cellules »

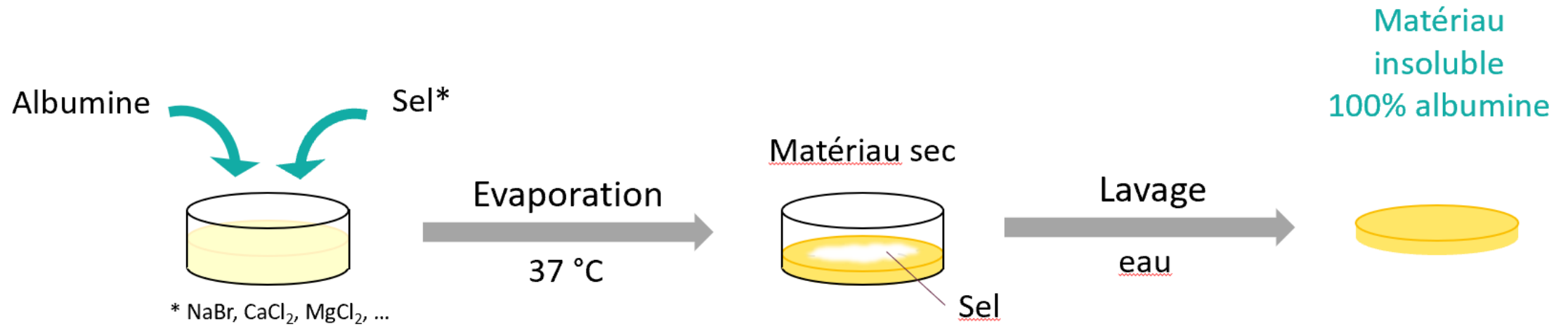


## Prolifération cellulaire selon les microparticules

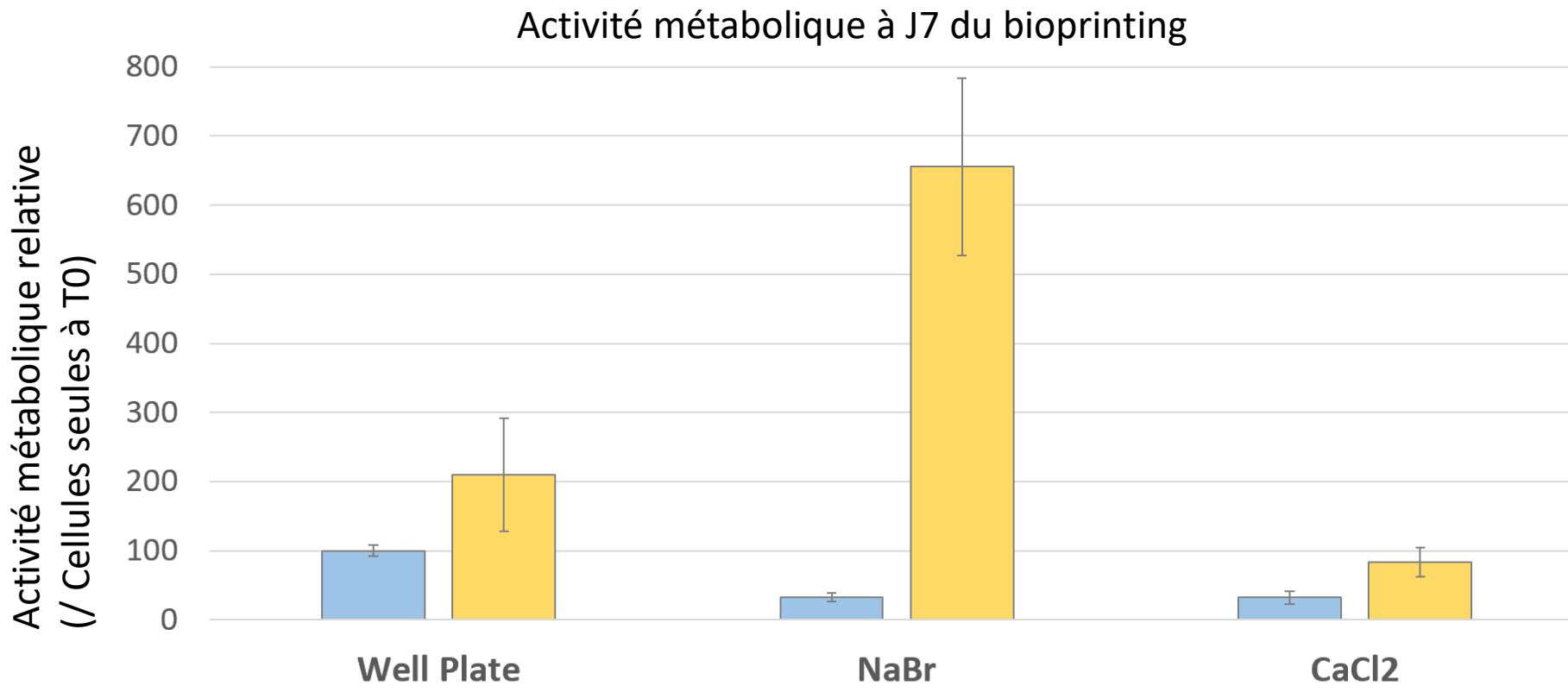


Time/Condition	Cells	PLGA	PLGA-PLL	PLGA-Coll
2 days	94.7 %	89.5 %	146.2 %	62.5 %
3 days	117.9 %	141.2 %	215.1 %	103.3 %
7 days	162.9 %	192.5 %	208.0 %	128.3 %

## Scaffold de support pour impression : ALBUPAD, innovation du laboratoire



## Viabilité cellulaire selon la nature du scaffold (*bromure de sodium ou chlorure de calcium*)

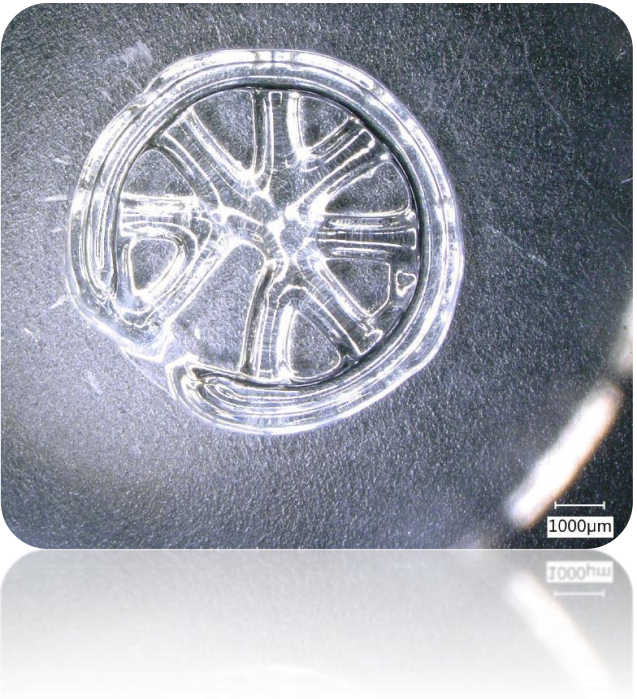


	Well Plate	NaBr	CaCl <sub>2</sub>
Cells Alone	100 %	32.7 %	32.4 %
PLGA-PLL	210.4 %	<b>655.5 %</b>	83.5 %

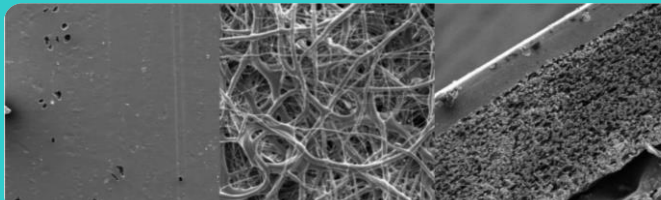
Equipe biomekid :

# Next steps

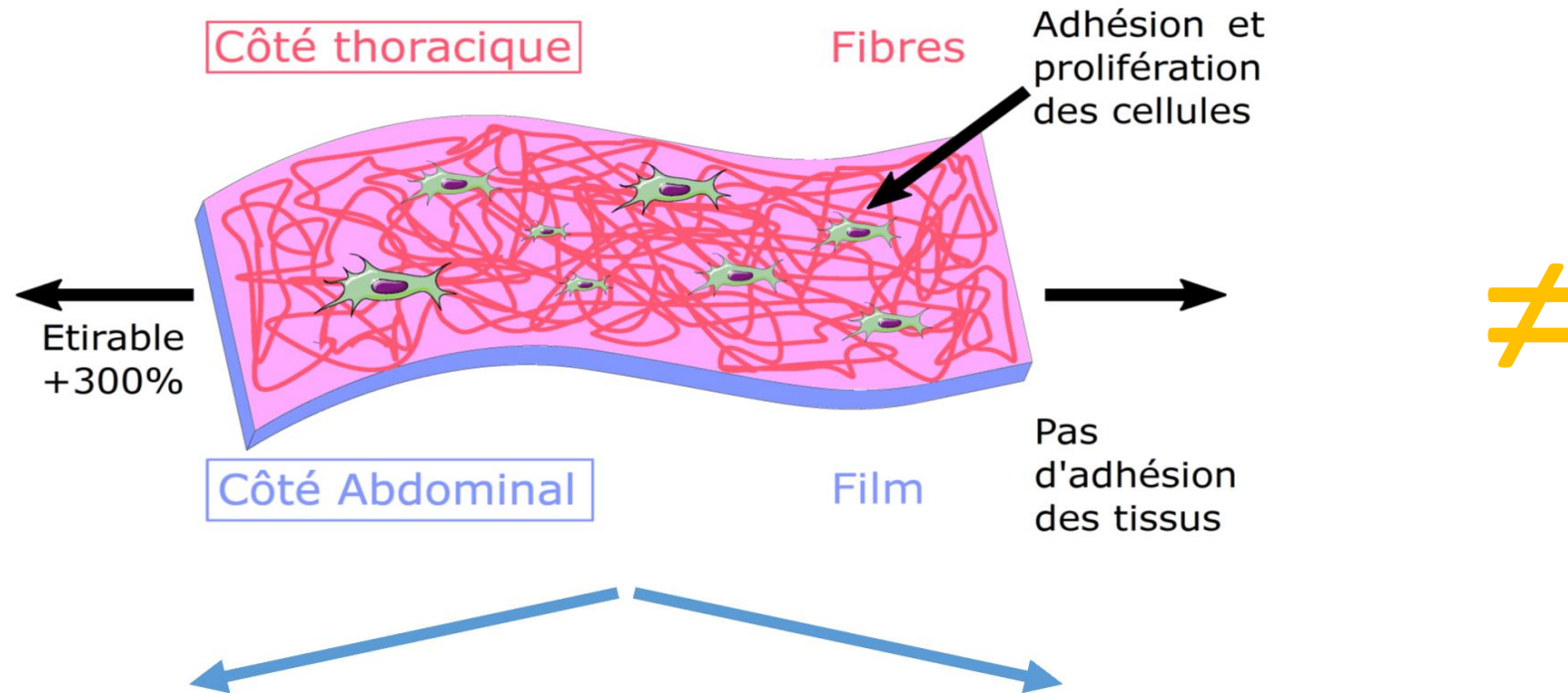
- Coculture tendinocytes et cellules musculaires
- Architecture de bioimpression
- In Vivo

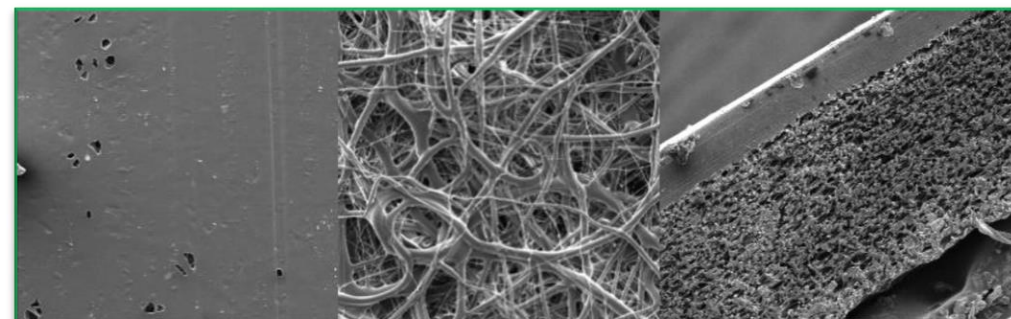
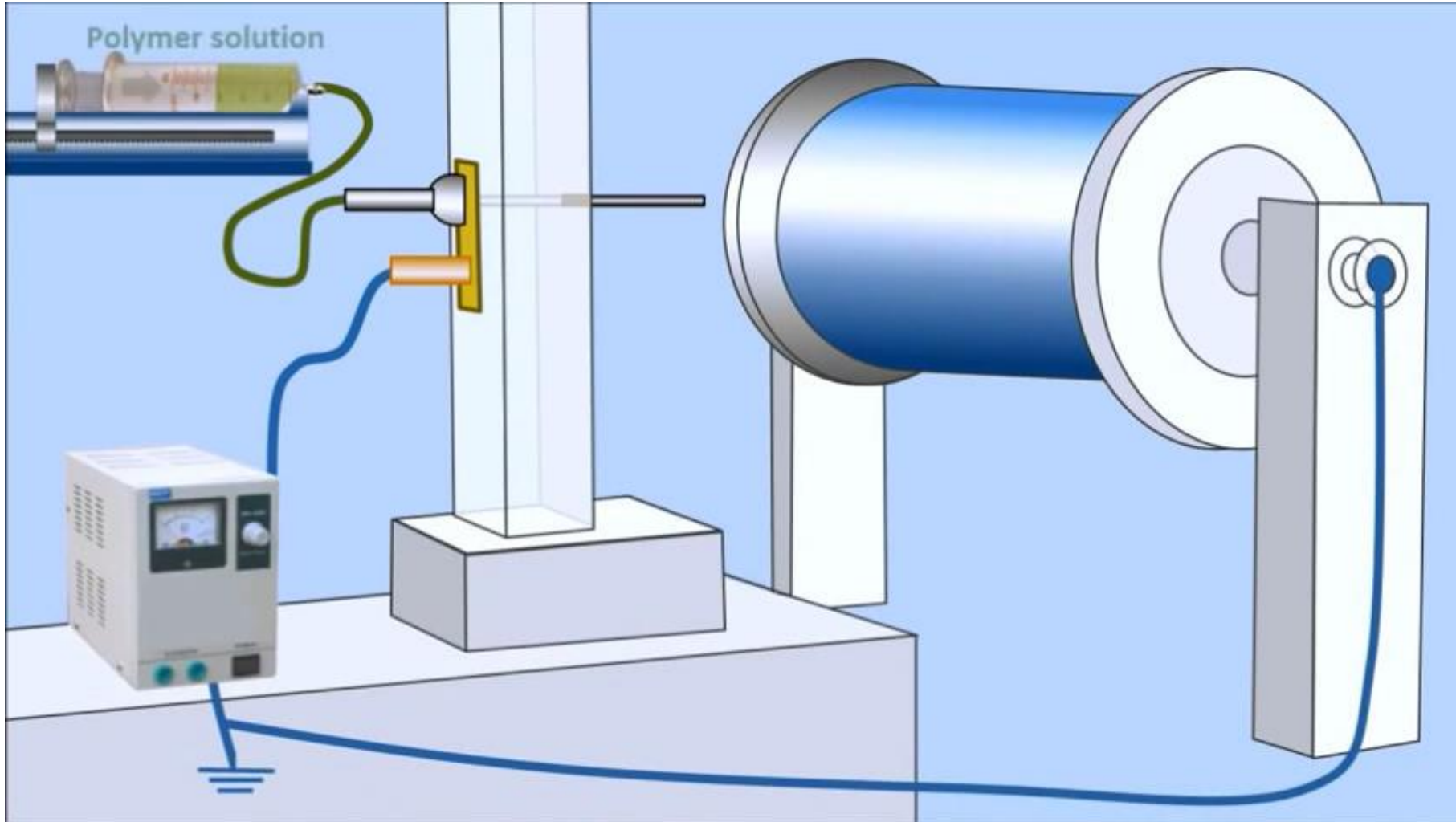


# Diapid



Electrofilage de polyuréthane de grade médical



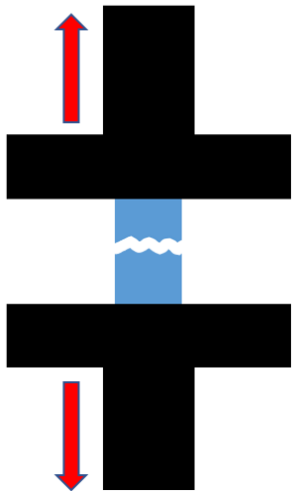


# Tests mécaniques

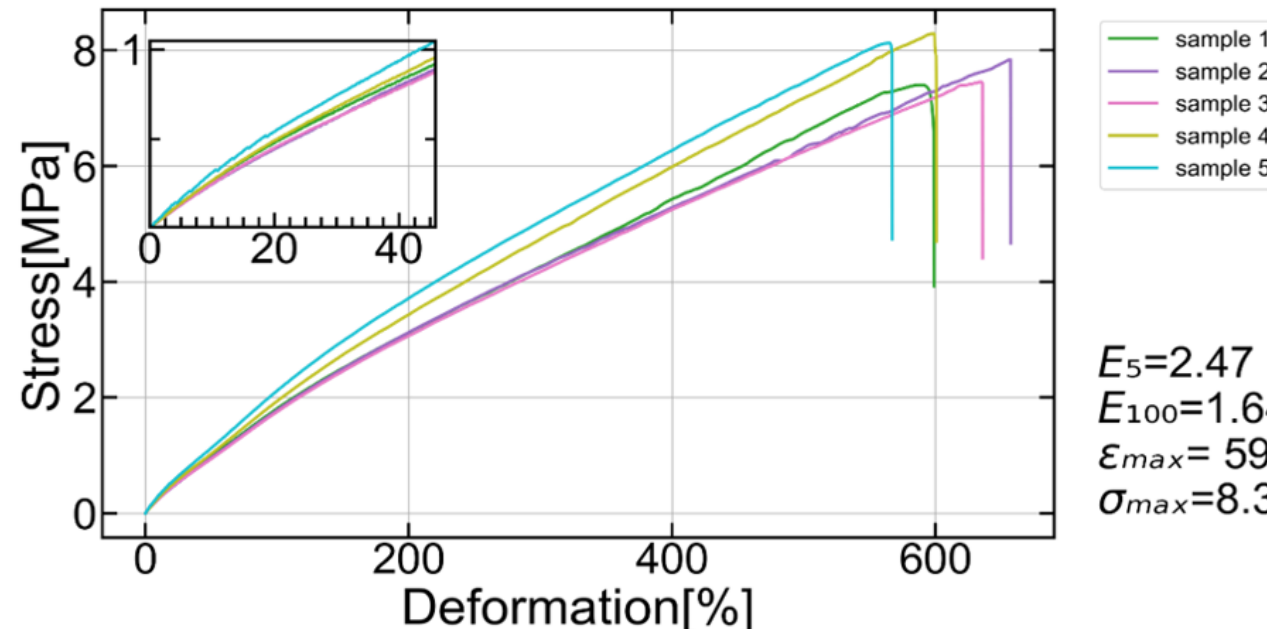
Pour chaque membrane :

- Quelle déformation maximale (%)
- Quelle est la valeur de stress maximal (MPa)
- Quel module de young (rigidité) (MPa)

Membrane	Young Modulus (MPa)	Max deformation(%)	Max Stress(MPa)
One of our membrane (L160)	2.5±0.2	600±30	8.4±0.3
Gortex (current prosthesis)	8.0±1,4	285±60	12.7±3,2



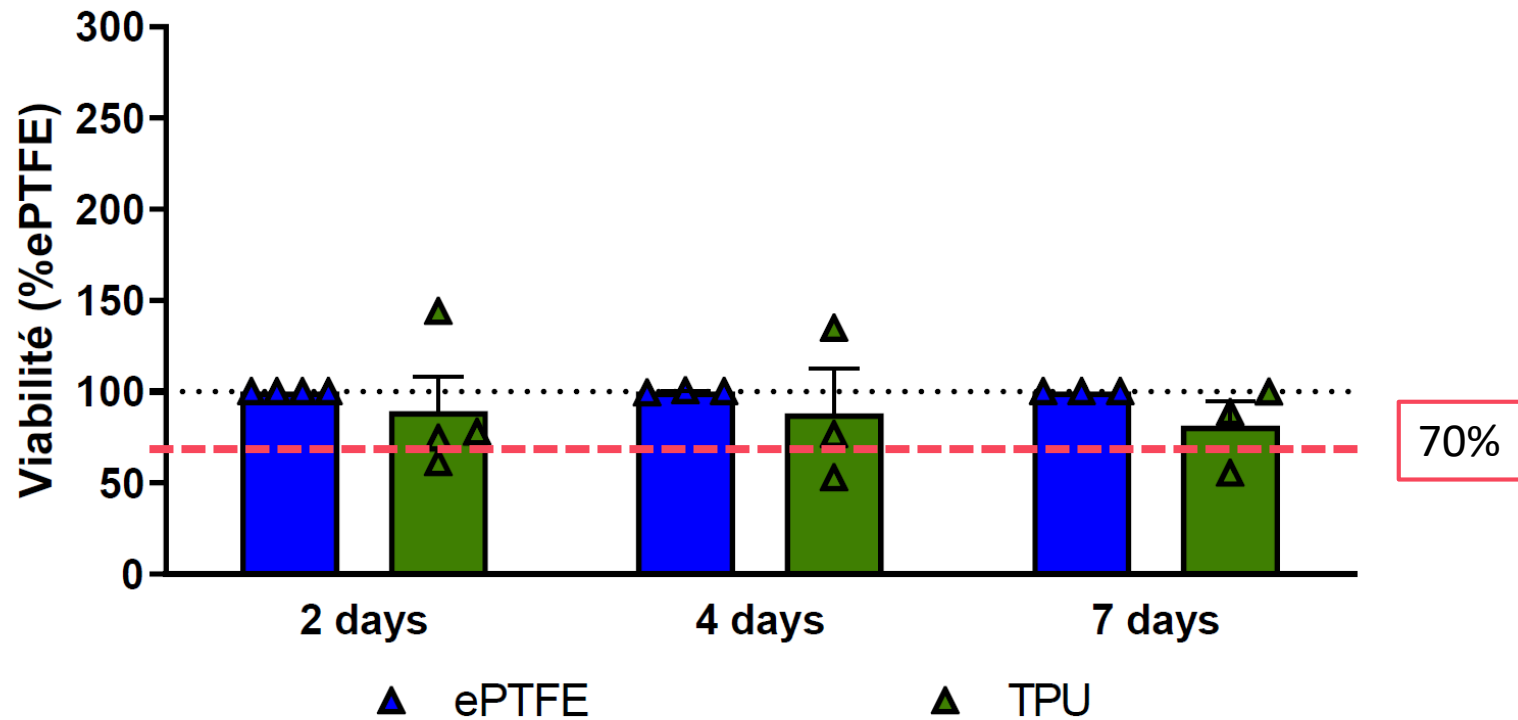
Traction trial of the membrane L160



$$\begin{aligned}
 E_5 &= 2.47 \pm 0.18 \text{ MPa} \\
 E_{100} &= 1.64 \pm 0.14 \text{ MPa} \\
 \varepsilon_{max} &= 598 \pm 29 \% \\
 \sigma_{max} &= 8.37 \pm 0.43 \text{ MPa}
 \end{aligned}$$

# Tests biologiques : viabilité cellulaire

Test de viabilité MTS - Fibroblastes NIH3T3  
(J+2 , J+4 et J+7 ; n=3)



Absence de cytotoxicité, conditions Normes ISO 10993-5

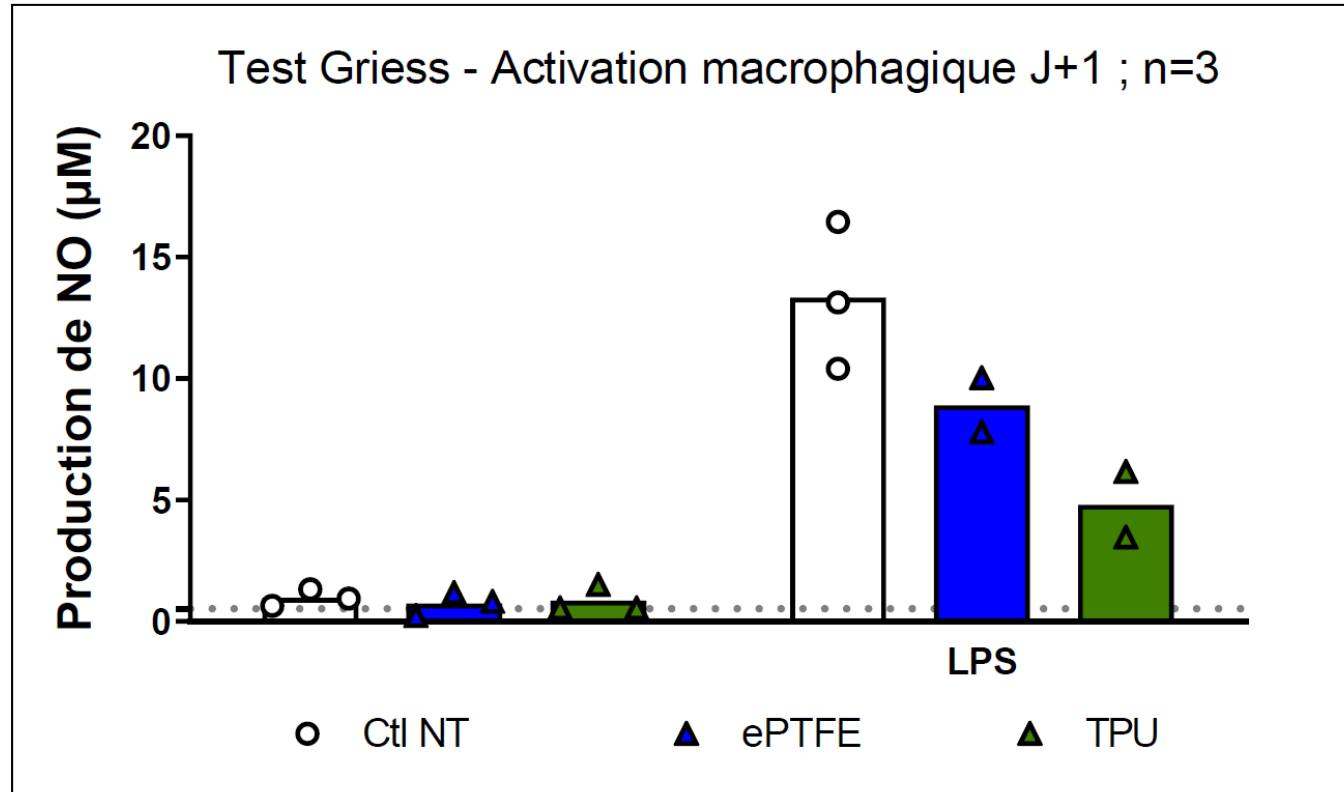
# Tests biologiques : inflammation



Lignée cellulaire de macrophages RAW 264.7



Activation par du LPS (50ng/mL)



Pas d'indicateur de réponse pro-inflammatoire

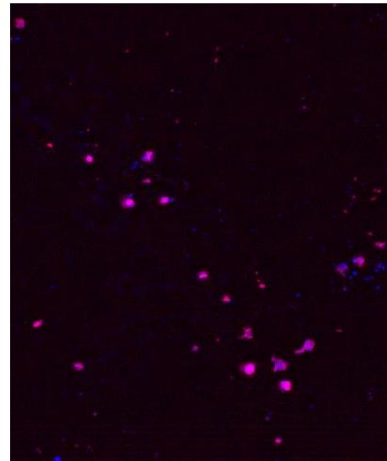
# Tests biologiques : colonisation NIH3T3

Efficacité de notre nouveau matériau TPU : Comparaison avec e-PTFE

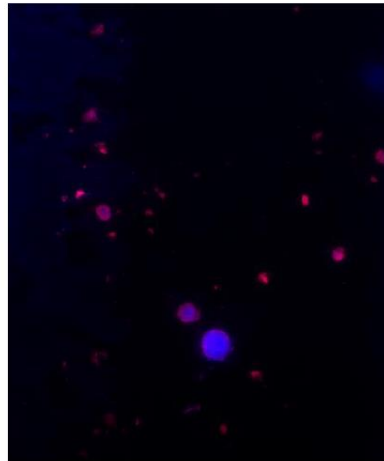
Actine  
Noyaux

Observation au x4 des membranes

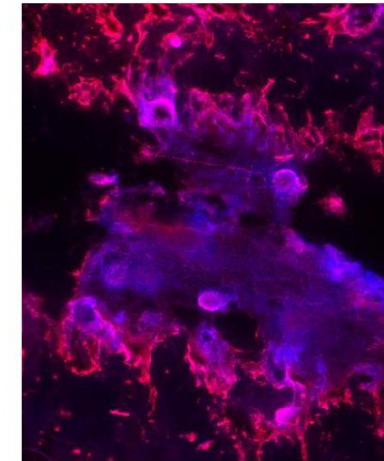
e-PTFE



J+2



J+4

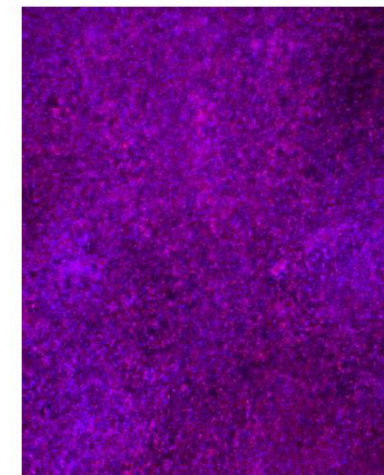
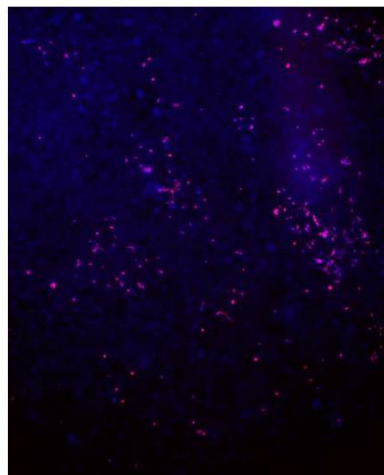
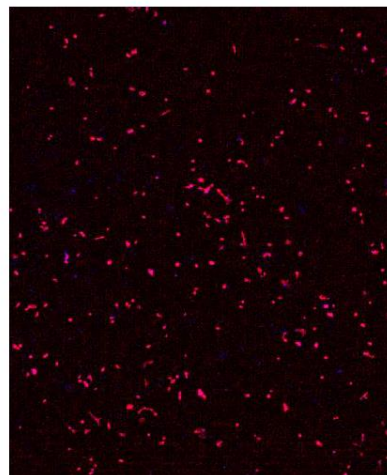


J+7



Colonisation  
**hétérogène** en amas à  
la surface de l'e-PTFE

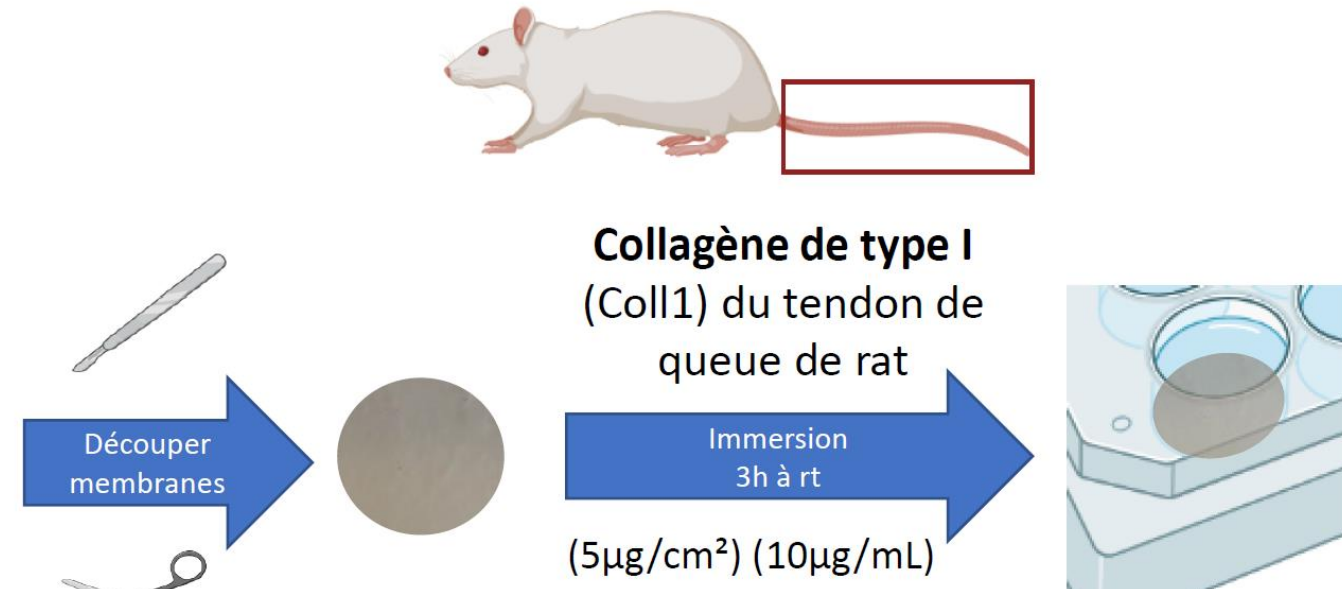
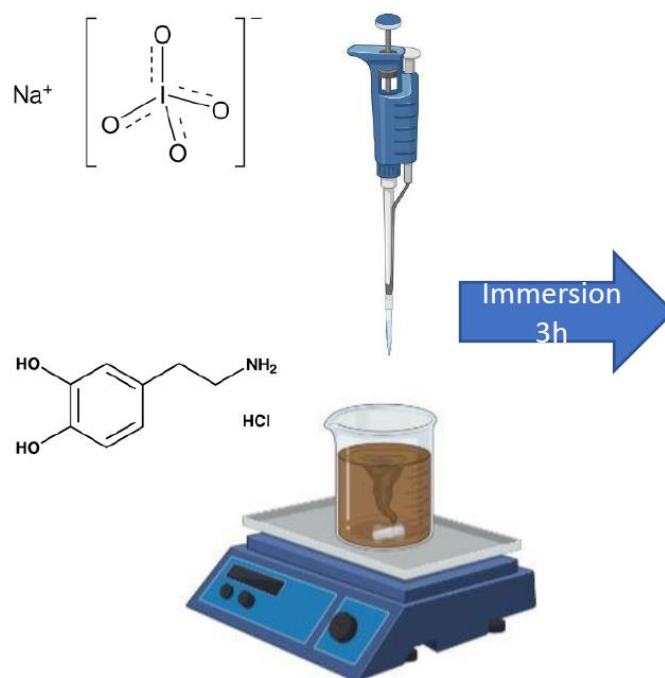
TPU



Colonisation  
**homogène** à la  
surface du TPU à J+7

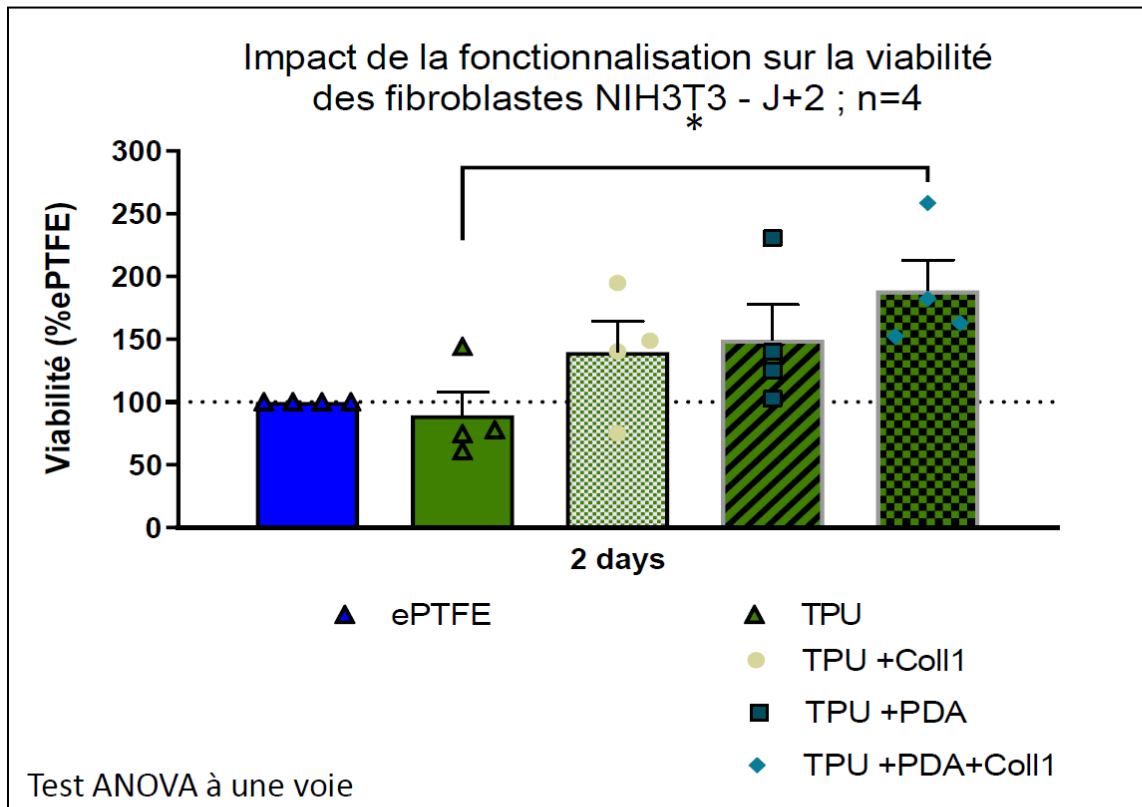
# Intérêt d'une fonctionnalisation

Coating de Polydopamine + Collagène I par immersion



# Intérêt d'une fonctionnalisation

J+2



Viabilité à 2 jours

En comparaison avec l'e-PTFE :

- **Coll1** a tendance à augmenter l'activité métabolique sur le TPU
- **PDA** présente également cette tendance
- **PDA+Coll1** semble améliorer davantage l'activité sur le TPU

En comparaison avec le TPU :

- **PDA+Coll1** augmente significativement la viabilité cellulaire par rapport au TPU nu

**PDA+Coll1** augmente de façon significative la viabilité

# Next steps

- Coculture tendinocytes et cellules musculaires
- Tests mécaniques Biaxiaux et gonflement
- In Vivo

Equipe Diapid :



# Merci pour votre attention



© CHOP/CFDT